

ЛИТЕРАТУРА

1. М. А. Берлинер. Электрические измерения, автоматический контроль и регулирование влажности. М., «Энергия», 1965.
2. В. Ф. Вязтышев. Диэлектрические волноводы. М., «Советское радио», 1969.
3. Ю. Н. Казанцев. О характеристиках газово-диэлектрических резонаторов.— Сб. докладов совещания по теории и применению диэлектрических волноводов. М., МЭИ, 1969.
4. А. Деревянко, О. Д. Куриленко. Про критичну частоту дисперсії гетерогенної системи.— Доповіді АН УРСР, Серія Б, Геологія, геофізика, хімія та біологія, 1969, № 10.

*Поступила в редакцию
8 июля 1969 г.,
окончательный вариант —
29 декабря 1969 г.*

УДК 681.335.5(088.8)

М. Ф. ЗАРИПОВ, М. А. УРАКСЕЕВ

(Ташкент)

БЕСКОНТАКТНОЕ УСТРОЙСТВО С ШИРОКИМИ ФУНКЦИОНАЛЬНЫМИ ВОЗМОЖНОСТЯМИ

В информационно-измерительных системах для контроля и управления сложными технологическими процессами широко используются счетно-решающие устройства, позволяющие реализовать различные математические зависимости, в том числе умножение, деление, воспроизведение функций и т. д. Важное место среди них занимают электромеханические счетно-решающие устройства, выполненные на базе контактных потенциометров [1]. Однако наличие скользящих контактов снижает их надежность, что и привело к разработке ряда бесконтактных электромеханических счетно-решающих устройств [2—4].

Авторами разработаны бесконтактные устройства с широкими функциональными возможностями [5, 6], выполненные на базе преобразователей с распределенными электромагнитными параметрами. Выходная э. д. с. этих устройств связана различными функциональными зависимостями с координатами подвижных сердечников (при разнообразных законах изменения контуров плоских обмоток).

Одна из конструкций таких устройств приведена на рис. 1. Магнитопровод устройства состоит из двух длинных боковых ферромагнитных стержней 1 и 2, между которыми расположен третий длинный прямой угольный ферромагнитный стержень 3, перпендикулярный к плоскостям двух первых. По обе стороны от среднего стержня по направляющим пазам в боковых стержнях перемещаются два одинаковых ферромагнитных сердечника: верхний 4 и нижний 5. Средний стержень образует большой воздушный зазор δ_1 с верхним сердечником, а малый зазор δ_2 с нижним. На верхней поверхности среднего стержня нанесена плоская обмотка возбуждения 6, ширина которой изменяется вдоль длины стержня по закону $Y_1 = f_B(X)$. Обмотка возбуждения подключена к источнику стабилизированного переменного тока. На нижней поверхности среднего стержня нанесена плоская измерительная обмотка 7, ширина которой изменяется вдоль длины стержня по закону $Y_2 = f_i(X)$.

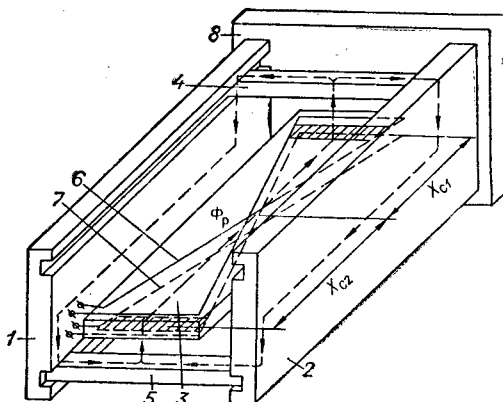


Рис. 1.

Обмотка возбуждения и измерительная обмотка либо наклеиваются на изоляционную пластину (не показана на рис. 1) контура из провода, либо наносятся печатным способом. Эти пластины с обмотками при необходимости могут заменяться, что придает устройству необходимую в подобных случаях универсальность. Все перечисленные выше неподвижные элементы устройства жестко крепятся между собой изоляционной пластиной 8.

При прохождении тока I по контуру обмотки возбуждения с числом витков W_b создается магнитный поток, показанный на рис. 1 штриховыми линиями и определяемый из выражения

$$\dot{\Phi}_p = I W_b G_1, \quad (1)$$

где G_1 — магнитная проводимость для рабочего потока, которая в общем случае состоит из проводимостей стальных и воздушных участков. Пренебрегая малой величиной магнитного сопротивления стали по сравнению с сопротивлением воздушного зазора δ_1 , можно записать

$$G_1 = \frac{S_1 \mu_0}{\delta_1}, \quad (2)$$

где S_1 — площадь участка контура обмотки возбуждения, ограниченная шириной верхнего подвижного сердечника и частью контура обмотки возбуждения; μ_0 — магнитная проницаемость воздуха.

В малом воздушном зазоре δ_2 создается равномерная магнитная индукция

$$\dot{B}_n = \frac{\dot{\Phi}_p}{S} = \frac{\dot{\Phi}_p}{b l}, \quad (3)$$

где S — площадь воздушного зазора между нижним подвижным сердечником 5 и средним стержнем 3; b, l — ширина и длина нижнего сердечника.

Потокосцепление рабочего потока с контуром измерительной обмотки определяется из выражения

$$\dot{\Psi}_n = \dot{B}_n S_2 W_n, \quad (4)$$

где S_2 — площадь участка контура измерительной обмотки 7, ограниченная шириной нижнего подвижного сердечника и участком контура измерительной обмотки; W_n — число витков последней. Индуцируемая в измерительной обмотке э. д. с. равна

$$\dot{E}_n = -j \omega \dot{\Psi}_n = -j \omega \frac{I W_b W_n \mu_0 S_1 S_2}{\delta_1 b l}. \quad (5)$$

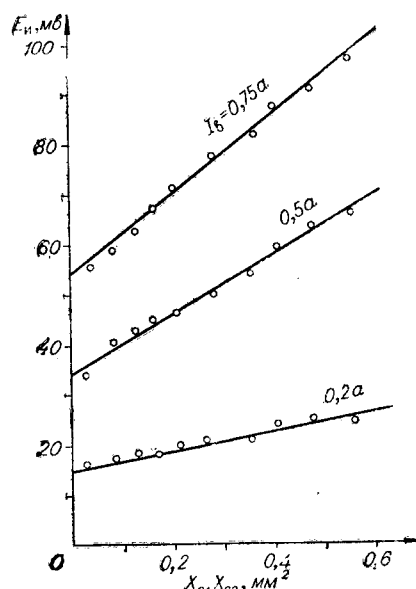


Рис. 2.

Входящие в это выражение S_1 и S_2 пропорциональны перемножаемым функциям $f_1(X_{c1})$, $f_2(X_{c2})$ и законам изменения ширины обмотки возбуждения и измерительной обмотки $f_b(X)$, $f_n(X)$ и связаны с ними следующими зависимостями:

$$S_1 = K_1 f_1(X_{c1}) = K_1 \int_{X_{c1} - b/2}^{X_{c1} + b/2} f_b(X) dX, \quad (6)$$

$$S_2 = K_2 f_2(X_{c2}) = K_2 \int_{X_{c2} - b/2}^{X_{c2} + b/2} f_n(X) dX. \quad (7)$$

Подставив (6) и (7) в (5), получим выражение статической характеристики устройства

$$\dot{E}_n = K f_1(X_{c1}) f_2(X_{c2}), \quad (8)$$

из которого следует, что в общем случае выходной сигнал устройства пропорционален произведению заданных перемножаемых функций $f_1(X_{c1})$ и $f_2(X_{c2})$. В частных же случаях одна из перемножаемых функций может быть линейной и устройство используется в качестве функционального преобразователя с широким

классом воспроизводимых функций и регулировкой чувствительности в большом диапазоне путем воздействия на величину потокосцепления за счет изменения I и S_1 или S_2 при перемещениях одного из подвижных сердечников относительно плоской обмотки с заданной линейной функцией. Иногда обе перемножаемые функции являются линейными и в этих случаях описанное устройство может быть использовано в качестве множительного устройства со статической характеристикой вида $E_i = K X_{c1} X_{c2}$.

На рис. 2 приведены характеристики описанного устройства в случае, когда обе перемножаемые функции являются линейными (теоретические зависимости показаны сплошными линиями, экспериментальные данные — кружками). Технические данные этого устройства таковы: $W_b = 100$ вит; $W_i = 200$ вит; $X_{c1 \max} = X_{c2 \max} = 100 \text{ мм}$; габариты: $220 \times 140 \times 90 \text{ мм}$.

Значительную погрешность вносят люфты подвижных сердечников, в результате которых изменяются площади S_1 и S_2 участков контуров обмоток, находящихся под подвижными сердечниками, поэтому требуется точная подгонка направляющих пазов для подвижных сердечников 4 и 5. Колебания частоты питающего тока вносят погрешность, пропорциональную изменению самой частоты.

Погрешность воспроизведения статической характеристики устройства при ручной намотке профилированных плоских обмоток составляет 2—3% и может быть значительно снижена при изготовлении обмоток методом печатного монтажа.

ЛИТЕРАТУРА

1. А. Н. Лебедев. Счетно-решающие устройства. М., «Машиностроение», 1966.
2. Д. В. Свечарник. Дистанционные передачи. М.—Л., «Энергия», 1966.
3. Ю. М. Пульев. Индукционные электромеханические элементы вычислительных и дистанционно-следящих систем. М., «Машиностроение», 1964.
4. Л. Ф. Кулаковский, М. Ф. Зарипов. Индуктивные преобразователи перемещения с распределенными параметрами. М.—Л., «Энергия», 1966.
5. М. Ф. Зарипов, М. А. Ураксев. Электромеханическое бесконтактное множительное устройство. Авторское свидетельство № 208368.—ИПОТЗ, 1967, № 3.
6. М. Ф. Зарипов, М. А. Ураксев. Бесконтактное электромеханическое множительное устройство.—Автометрия, 1969, № 5.

*Поступила в редакцию
4 января 1970 г.*

УДК 621.317+519.2

Ю. Н. ЗОЛОТУХИН, Ю. М. КРЕНДЕЛЬ
(Новосибирск)

О ДИСПЕРСИИ ПОГРЕШНОСТИ КОМПЕНСАЦИИ ДРЕИФА УСИЛИТЕЛЯ УСТРОЙСТВА СРАВНЕНИЯ

При проектировании устройств сравнения цифровых измерительных приборов постоянно уделяется внимание вопросу устранения дрейфа в усилителях постоянного тока, на базе которых выполняются устройства сравнения. Известен ряд работ [1—4], где предлагаются различные схемы автоматической компенсации дрейфа и анализируется их работа.

В настоящей заметке рассматривается дисперсия погрешности сигнала на выходе усилителя постоянного тока устройства сравнения для двух известных схем компенсации дрейфа. На рис. 1 представлена одна из распространенных схем усилителя устройства сравнения. Здесь U_1 и U_2 — усилители с коэффициентами усиления k_1 и k_2 соответственно; U_3 — усилитель цепи обратной связи с коэффициентом усиления k_3 ; C — запоминающий конденсатор.

На входы дифференциального усилителя U_1 подаются компенсационное напряжение U_k и измеряемое напряжение U_x . При разомкнутом ключе a_1 и замкнутых a_2 и a_3 в момент времени t_0 напряжение на выходе U_2 равно

$$U_{\text{вых}}(t_0) = [\xi_1(t_0) k_1 + \xi_2(t_0) - U(t_0)] k_2, \quad (1)$$